

**ВОСПЛАМЕНЯЕМОСТЬ СМЕСЕЙ ОКИСЛОВ МЕТАЛЛОВ
С АЛЮМИНИЕМ**

E. V. Черненко, Л. Ф. Афанасьева, В. А. Лебедева, В. И. Розенбанд
(Черноголовка)

Воспламеняемость смесевых систем $M_{x}O_y + Al$ изучалась с целью выяснения процессов, приводящих к воспламенению и горению этих систем. В таких системах возможно параллельное протекание окислительных, окислительно-восстановительных и металлотермических реакций.

С практической точки зрения важность этих работ заключается в том, что смеси порошков $M_{x}O_y + Al$ используются как шихты для восстановления металлов [1]. В случае воспламенения шихт их тушение связано со значительными трудностями из-за большой экзотермичности протекающих реакций и наличия собственного окислителя и горючего. Выдвигается задача предупреждения возможности воспламенения составов на подготовительных стадиях технологического процесса: смешение, сушка, хранение, транспортировка и т. д.

Для исследований были взяты следующие материалы Al АСД-1; NiO ТУ-6-09-4125-75; TiO_2 ТУ-6-09-2166-77; WO_3 ТУ-6-09-397-75; MoO_3 ТУ-6-09-4471-77; V_2O_5 ТУ-6-09-4093-78; FeO ТУ-6-09-1404-76; Cr_2O_3 ТУ-6-09-4272-76; Al_2O_3 ТУ-6-09-426-75; Li_2O_2 ТУ-6-02-770-79; CrO_3 ГОСТ 3776-78; B_2O_3 ГОСТ 10068-75; BaO_2 ГОСТ 6054-75; Nb_2O_5 РЭТУ 48-0583-199-80; Ta_2O_5 марки TaO ТУ 48-4-408-78.

Эксперименты по воспламенению порошковых материалов проводились на установке, описанной в [2]. Образец порошка насыпной плотности помещали в капсулу, выполненную из латунной сетки (размер ячеек 71 мкм), и вводили в металлический блок, нагретый в муфельной печи. Внутренний диаметр капсулы и длина составляли 6 и 20 мм. Через блок продували нагретый до температуры печи газ (воздух или аргон) со скоростью 8,7 см/с. Температуры образца и блока измеряли хромель-алюмелевыми термопарами. Критическая температура воспламенения T_{kp} (температура внутри блока в месте расположения образца, ниже которой воспламенения не наблюдалось) определялась с точностью $\pm 5^{\circ}\text{C}$ с доверительным уровнем отклонения результатов от среднеарифметического 95 %.

Для более детального изучения процессов, протекающих в смеси и в отдельных ее компонентах при повышении температуры проводились исследования методом дифференциального термического анализа (ДТА). Использовалась установка, описанная в [3]. Капсулы с исследуемым веществом и эталоном помещали в печь, которая нагревалась с линейной скоростью $10^{\circ}\text{C}/\text{мин}$. В качестве эталона выбран порошок Al_2O_3 .

На рис. 1 приведены термограммы отдельных компонентов (ΔT — разница между температурами порошка и эталона). Термограммы для NiO , TiO_2 , WO_3 , Cr_2O_3 , Al_2O_3 , Nb_2O_5 , Ta_2O_5 здесь не приводятся, так как это прямые линии (без максимумов и минимумов) вплоть до T_{max} , достижимых на установке ДТА.

На термограммах, соответствующих порошку Al , отчетливо проявляется эндотермический эффект, если $T \approx 660^{\circ}\text{C}$, происходит плавление Al . Нагрев на воздухе до $T \approx 895^{\circ}\text{C}$ приводит к резкому возрастанию

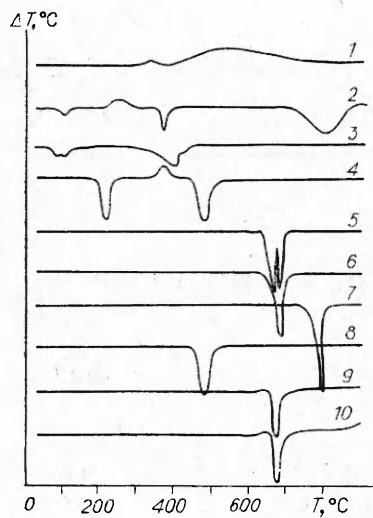


Рис. 1. Кривые ДТА.
1 — Fe₂O₃; 2 — BaO₂; 3 — Li₂O₂; 4 — CrO₃; 5, 6 — V₂O₅;
7 — MoO₃; 8 — B₂O₃; 9, 10 — Al. 1—4, 6—8, 10 —
исследования на воздухе; 5, 9 — в аргоне.

температуры образца по сравнению с температурой эталона, что является результатом реакции окисления алюминия кислородом воздуха. Отметим, что заметное окисление Al на воздухе начинается еще до плавления (см. рис. 1, 10). $T_{\text{кр}}$ алюминия $\approx 875^{\circ}\text{C}$, т. е. на 20°C ниже, чем температура начала резкого экзотермического эффекта, что связано с разными условиями экспериментов.

По данным ДТА и экспериментам по воспламеняемости с использованием приведенных в литературе данных в диапазоне температур до 1100°C можно выделить две основные группы окислов:

I. Химически стабильные, при нагревании они не претерпевают никаких химических превращений;

II. Химически нестабильные.

Первую группу окислов можно разделить на 1) физически стабильные — не претерпевающие в процессе нагрева ни плавления, ни испарения, ни возгонки; 2) физически нестабильные. Вторая группа разделяется на 3) окислы, разлагающиеся при нагревании с выделением кислорода, и 4) окислы, доокисляющиеся при нагревании в атмосфере воздуха до более высоких окислов.

Рассмотрим все используемые в работе окислы по подгруппам.

1. К физически стабильным окислам можно отнести NiO, TiO₂, Cr₂O₃, Al₂O₃, Ta₂O₅, Nb₂O₅. ДТА не выявил в них никаких экзотермических или эндотермических процессов. Из [4] известно, что температуры их плавления $T_{\text{пл}} > 1100^{\circ}\text{C}$, а давление их паров $p_{\text{пар}}$ незначительно. Например, для самого легкоплавкого Nb₂O₅ ($T_{\text{пл}} = 1783^{\circ}\text{C}$) при 1380°C $p_{\text{пар}} = 11,47 \cdot 10^{-4} \text{ Н/м}^2$ [4].

2. B₂O₃, MoO₃, WO₃ — физически нестабильные окислы. B₂O₃ плавится при $T = 450^{\circ}\text{C}$ (см. рис. 1, 8) [4]. По данным [4, 5], $T_{\text{пл}}$ MoO₃ составляет 795 и 801°C . Исследования методом ДТА образцов MoO₃ показали, что эндотермический эффект наблюдается уже при $T \approx 750^{\circ}\text{C}$ (см. рис. 1, 7). Его начало, вероятно, связано не с плавлением окисла, а с увеличением скорости сублимации и образования полимерных газообразных молекул: Mo₂O₆, Mo₃O₉, Mo₄O₁₂, Mo₅O₁₅. Термодинамические расчеты показали, что в присутствии аргона следы полимерных молекул появляются при $T = 700^{\circ}\text{C}$. Из [6] известно, что MoO₃ начинает испаряться в районе 500°C , а уже при 600°C сублимация становится заметной. ДТА WO₃ не выявил в нем ни экзотермических, ни эндотермических процессов. Однако замечено, что при $T = 800^{\circ}\text{C}$ заметно уменьшается масса образца и нарастает WO₃ на более холодных частях экспериментальной установки. WO₃ испаряется без разложения [4] и в газовой фазе существует в виде полимерных молекул [7], причем, давление насыщенных паров WO₃ в области исследуемых в данной работе температур значительно: $T = 660^{\circ}\text{C}$, $p_{\text{пар}} = 2,57 \text{ Н/м}^2$; $T = 1080^{\circ}\text{C}$, $p_{\text{пар}} = 5480 \text{ Н/м}^2$ [4].

3. V₂O₅, CrO₃, Li₂O₂, BaO₂ разлагаются при нагревании с выделением кислорода. Возгонка V₂O₅ с частичным разложением на VO₂ и O₂ [4] в атмосфере воздуха и аргона происходит, если $T = 610^{\circ}\text{C}$ (см. рис. 1, 5, 6). В атмосфере аргона возгонка и разложение V₂O₅ идут с большей скоростью. И уже на стадии снижения эндотермического эффекта возгонки и разложения достигается температура плавления V₂O₅ ($T_{\text{пл}} = 670^{\circ}\text{C}$ [4]). В исследованиях V₂O₅ на воздухе наблюдается нало-

жение двух эндотермических эффектов (сублимация и разложение с плавлением). Разложение CrO_3 начинается при плавлении и идет в несколько стадий. Образцы CrO_3 , выдержанные в нагретом до 200°C металлическом блоке 5 мин, после достижения температуры 200°C остаются красноватого цвета, но растворяются в воде не полностью. Количество нерастворившегося материала с увеличением температуры выдержки образцов возрастает. При $T = 340^\circ\text{C}$ начинает проявляться экзотермический эффект (см. рис. 1, 4), а при $T = 440^\circ\text{C}$ — эндотермический, что связано с дальнейшим разложением материала. Образцы CrO_3 , выдержанные в металлическом блоке с температурой $T_{\text{бл}} = 350^\circ\text{C}$, приобретают черную окраску и не растворяются в воде, а с $T_{\text{бл}} = 500^\circ\text{C}$, приобретают темно-зеленую окраску, характерную для Cr_2O_3 .

Термограмма для Li_2O_2 представлена на рис. 1, 3. Эндотермический эффект в районе $T = 100^\circ\text{C}$ можно объяснить уходом из порошка воды. Второй эндотермический эффект — разложение Li_2O_2 . Начало разложения на данной установке ДТА приходится на $T = 280^\circ\text{C}$, а полное — на $T = 440^\circ\text{C}$. По литературным данным, Li_2O_2 разлагается с выделением кислорода ($T = 160^\circ\text{C}$) и полностью разлагается при $T = 315—342^\circ\text{C}$ [4].

На термограмме, соответствующей BaO_2 , отчетливо проявляются три минимума (см. рис. 1, 2). Первый ($T \approx 100^\circ\text{C}$), вероятно, соответствует уходу содержащейся в порошке влаги, второй ($T \approx 380^\circ\text{C}$) можно объяснить плавлением BaO_2 . Третий ($T \approx 800^\circ\text{C}$) соответствует процессу активного разложения BaO_2 [4, 8].

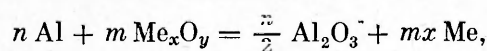
4. Окислы, доокисляющиеся при нагревании в атмосфере воздуха до более высших окислов, в настоящей работе представлены FeO . При исследованиях методом ДТА начало первого экзотермического эффекта наблюдается в районе $T \approx 310^\circ\text{C}$ и второго при $T \approx 390^\circ\text{C}$. С дальнейшим повышением температуры происходит доокисление образца, которое заканчивается, когда $T \approx 810^\circ\text{C}$. Экспериментальные данные многих авторов [4, 6] говорят о том, что FeO нестабильна до 570°C и на воздухе доокисляется до магнетита (Fe_3O_4). Изучение распада FeO показало появление заметного количества магнетита после длительного (10 дней) вакуумного отжига даже при $T = 190^\circ\text{C}$ [9]. С повышением температуры магнетит, в свою очередь, доокисляется до гематита (Fe_2O_3) [4, 6]. Этим и объясняется наличие двух максимумов на термограмме.

Если смеси окисла металла с алюминием нагревать на воздухе, возможно протекание следующих химических реакций:

- окисление в кислороде воздуха Al или окисла;
- окисление Al внутренним кислородом, выделяющимся при разложении окисла;
- окислительно-восстановительные реакции, идущие: через жидкую фазу (плавление одного из компонентов смеси), через газовую фазу (газообразный окисел или Al) и по контактно-диффузионному механизму, т. е. окисел и Al взаимодействуют посредством встречной диффузии реагентов друг к другу через поверхность контакта. Как показано в [10], этот механизм маловероятен из-за несовершенства непосредственного контакта двух твердых тел для осуществления химического акта. Однако совершенные контакты все же существуют, как показано в [10]. Это может привести к образованию легкоплавких эвтектических составов, которые, в свою очередь, могут значительно улучшить контакт двух твердых тел. При этом возрастает скорость окислительно-восстановительной реакции, что может привести к воспламенению смеси;
- металлотермические реакции (взаимодействие Al с восстановленным из окисла металлом);
- окисление восстановленного из окисла металла.

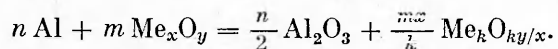
Содержания Al в смесях с окислами выбирались близкими к стехиометрическим химических реакций:

восстановления металла из окисла



Смесь	Массовое соотношение	T_{kp} , °C		Смесь	Массовое соотношение	T_{kp} , °C	
		на воздухе	в аргоне			на воздухе	в аргоне
NiO + Al	50 : 50	890	925	Nb ₂ O ₅ + Al	80 : 20	960	>1100
	90 : 10	985	—	Ta ₂ O ₅ + Al	74 : 26	900	980
Ni + Al	50 : 50	750	610	B ₂ O ₃ + Al	60 : 40	>1100	>1100
	50 : 50	885	>1100	MoO ₃ + Al	73 : 27	690	715
TiO ₂ + Al	75 : 25	925	—	WO ₃ + Al	81 : 19	885	955
	90 : 10	>1100	—	CrO ₃ + Al	65 : 35	950	800
	50 : 50	885	>1100	V ₂ O ₅ + Al	67 : 33	660	670
Ti + Al Cr ₂ O ₃ + Al	660	695	—	Li ₂ O ₂ + Al	34 : 66	665	842
	74 : 26	930	>1100	BaO ₂ + Al	65 : 35	755	755
	50 : 50	900	>1100	Li ₂ O ₂ + Al ₂ O ₃	31 : 69	>1100	>1100
Al ₂ O ₃ + Al	70 : 30	920	—	FeO + Al	80 : 20	710	790
	90 : 10	990	—	50 : 50	810	—	—

восстановления более низкого окисла, если его изобарно-изотермический потенциал оказывался выше, чем у глинозема



Для выяснения более полной картины восстановления некоторые смеси готовили из компонентов в соотношениях, отличных от стехиометрических. Значения T_{kp} для исследуемых смесей приведены в таблице.

Рассмотрим наиболее вероятный механизм воспламенения смесей $\text{Me}_x \text{O}_y + \text{Al}$ для конкретных окислов.

Физически стабильный окисел + Al. На рис. 2 видно, что все точки зависимости $T_{kp}(\text{Al})$ лежат вблизи кривой, соответствующей разбавлению Al глиноземом (Al_2O_3), в данном случае инертным материалом. Из проведенных исследований можно сделать вывод, что все физически стабильные окислы металлов в смеси с алюминием до момента воспламенения почти инертны, т. е. зажигание смеси происходит в основном за счет реакции окисления Al кислородом воздуха. Небольшой разброс точек вблизи кривой (см. рис. 2) объясняется различием теплофизических параметров и возможным протеканием с малыми скоростями окислительно-восстановительных реакций. В процессе горения, когда в образце достигаются высокие температуры, возможно протекание с высокой скоростью окислительно-восстановительных и металлотермических реакций. Это и объясняет бурное воспламенение смеси NiO + Al. Воспламенение NiO + Al на воздухе при содержаниях NiO в смеси в количестве 19,7; 50 или 80,6 % приводит к взрыву образца.

Протекание окислительно-восстановительных реакций в смесях окисел + Al для некоторых физически стабильных окислов в предвоспламенительный период подтверждается и термографическими исследованиями. В области температур, больших T_{pl} Al при термографических исследованиях $\text{TiO}_2 + \text{Al}$ и $\text{NiO} + \text{Al}$ в атмосфере Ar наблюдаются экзотермические эффекты, которые можно объяснить только экзотермическими окислительно-восстановительными реакциями (рис. 3).

Эксперименты в Ar показали, что смесь 50 % NiO + Al воспламеняется со взрывом при $T_{bl} = 925$ °C. Окислительно-восстановительная реакция NiO с Al, приводящая к воспламенению смеси, вероятно, начинается через образование низкоплавких эвтектических составов в местах контактов двух материалов. При появлении в смеси восстановленного металла возможна и металлотермическая реакция. Так, зажигание 50 % Ni + + Al (Ni ПНЭ-1, ГОСТ 9722-79) наблюдалось уже при $T = 610$ °C. Интересно, что та же смесь в атмосфере воздуха загорается, если темпера-

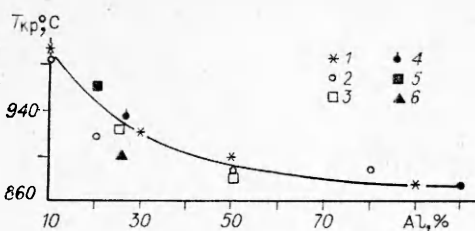


Рис. 2. Зависимость критической температуры воспламенения в атмосфере воздуха от содержания алюминия в смесях:
1 — $\text{Al}_2\text{O}_3 + \text{Al}$; 2 — $\text{NiO} + \text{Al}$; 3 — $\text{TiO}_2 + \text{Al}$; 4 — $\text{Cr}_2\text{O}_3 + \text{Al}$;
5 — $\text{Nb}_2\text{O}_5 + \text{Al}$; 6 — $\text{Ta}_2\text{O}_5 + \text{Al}$.

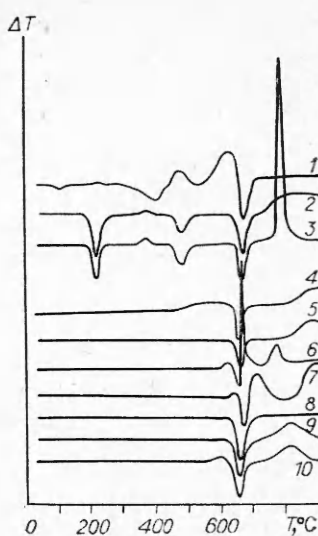


Рис. 3. Кривые ДТА для образцов:
1 — 34 % $\text{Li}_2\text{O}_3 + \text{Al}$; 2, 3 — 65 % $\text{CrO}_3 + \text{Al}$; 4, 5 — 80 % $\text{FeO} + \text{Al}$; 6 — 67 % $\text{V}_2\text{O}_5 + \text{Al}$; 7 — 73 % $\text{MoO}_3 + \text{Al}$; 8 — 50 % $\text{Cr}_2\text{O}_3 + \text{Al}$; 9 — 50 % $\text{TiO}_2 + \text{Al}$; 10 — 50 % $\text{NiO} + \text{Al}$. 1, 2, 4 — исследования на воздухе; 3, 5—10 — в аргоне.

тура достигает 750°C . Для используемого порошка никеля $T_{\text{kp}} = 570^\circ\text{C}$. Такая разница значений T_{kp} смеси $\text{Ni} + \text{Al}$ на воздухе и в аргоне объясняется следующим образом. При разбавлении Ni алюминием окисление никеля на воздухе при температурах, близких к температуре загорания чистого порошка Ni , не приводит к зажиганию вследствие теплового разбавления (Al в данном случае играет роль инертного разбавителя), но способствует нарастанию на частицах Ni защитной окисной пленки, что, в свою очередь, ведет к увеличению температуры воспламенения никеля. Окисная пленка на частицах порошка Ni препятствует и протеканию металлотермической реакции Ni с Al .

Смеси TiO_2 с Al горят мягко, без разбрасывания образцов. В атмосфере воздуха в составе с содержанием TiO_2 50 и 75 % $T_{\text{kp}} = 885$ и 925°C соответственно. Мягкий характер воспламенения говорит о том, что окислительно-восстановительная реакция, наблюдаемая в системе (см. рис. 3), не достигает значительных скоростей в процессе выгорания Al . Исследования составов TiO_2 с Al в атмосфере Ar показали, что они не горят вплоть до максимально допустимых температур $T_{\text{bl}} = 1100^\circ\text{C}$. Но поскольку в системе все-таки происходят окислительно-восстановительные реакции, возможны и металлотермические реакции. Для 50 % $\text{Ti} + \text{Al}$ получено, что на воздухе $T_{\text{kp}} = 660^\circ\text{C}$, а в атмосфере Ar $T_{\text{kp}} = 695^\circ\text{C}$. Заметим, что в случае воспламенения $\text{Ti} + \text{Al}$ на воздухе инициатором воспламенения, вероятно, была не металлотермическая, а реакция окисления Ti кислородом воздуха. В опытах использовался порошок титана марки ПТС ТУ 14-1-3086-80, для которого $T_{\text{kp}} = 445^\circ\text{C}$.

Зажигание смесей 74 % $\text{Cr}_2\text{O}_3 + \text{Al}$ и 80 % $\text{Nb}_2\text{O}_5 + \text{Al}$ на воздухе происходило в мягком режиме, а в атмосфере Ar не наблюдалось вплоть до $T_{\text{bl}} = 1100^\circ\text{C}$.

Состав 74 % $\text{Ta}_2\text{O}_5 + \text{Al}$ на воздухе загорается бурно с разбрасыванием образца. Значение $T_{\text{kp}} = 900^\circ\text{C}$ лежит заметно ниже кривой на рис. 2. Это указывает на существенную роль окислительно-восстановительной реакции наряду с ведущей реакцией окисления Al кислородом воздуха. В атмосфере Ar 74 % $\text{Ta}_2\text{O}_5 + \text{Al}$ воспламеняется при $T = 980^\circ\text{C}$.

Итак, можно сделать вывод, что инициирует возгорание смесей физически стабильных окислов с Al реакция окисления алюминия кислородом воздуха. Окислительно-восстановительные и металлотермические реакции либо оказывают слабое влияние на процесс, либо вообще не начинают развиваться в послевоспламенительный период.

Физически нестабильный окисел + Al. Смесь 60 % $\text{B}_2\text{O}_3 + \text{Al}$ не воспламенилась вплоть до $T_{\text{bl}} = 1100^\circ\text{C}$. Термодинамическая прочность B_2O_3

на атом кислорода достаточно велика, при $T = 1100^\circ\text{C}$ она меньше, чем у TiO_2 , но выше, чем у Cr_2O_3 . Бор может быть восстановлен из B_2O_3 алюминием, но, вероятно, кинетическая температура начала взаимодействия B_2O_3 с Al очень велика. Зажигание же алюминия кислородом воздуха в смеси с 60 % B_2O_3 невозможно в силу того, что расплавленный B_2O_3 изолирует частицы алюминия от внешнего кислорода.

Как показали термографические исследования, взаимодействие MoO_3 с Al благодаря переходу значительного количества MoO_3 в газовую фазу идет ниже $T_{\text{пл}} \text{ Al}$ (см. рис. 3). Состав $\text{MoO}_3 + \text{Al}$ воспламеняется при более высоких температурах, где достигаются высокие скорости химических реакций. Так, 73 % $\text{MoO}_3 + \text{Al}$ загоралась с разбросом образцов при $T = 690^\circ\text{C}$ на воздухе и при $T = 715^\circ\text{C}$ в аргоне. В атмосфере воздуха паряду с активной инициирующей воспламенение окислительно-восстановительной реакцией заметное влияние оказывает реакция окисления алюминия внешним кислородом. Интересным оказался и тот факт, что при нагревании в инертном газе $\text{MoO}_3 + \text{Al}$ наблюдаются два экзотермических эффекта (см. рис. 3). Второй из них можно объяснить увеличением скорости окислительно-восстановительной реакции благодаря появлению в системе жидкой фазы (плавление MoO_3).

Горение $\text{WO}_3 + \text{Al}$ на воздухе и в аргоне так же, как и $\text{MoO}_3 + \text{Al}$, приводит к разбрасыванию образца. Для смеси 81 % $\text{WO}_3 + \text{Al}$ на воздухе $T_{\text{кр}} = 885^\circ\text{C}$, что значительно меньше температур загорания смесей физически стабильных окислов с алюминием (см. рис. 2), в аргоне $T_{\text{кр}} = 955^\circ\text{C}$. Полученные экспериментальные данные говорят о том, что на воспламенение $\text{WO}_3 + \text{Al}$ на воздухе существенное влияние оказывают как окислительно-восстановительная, так и реакция окисления Al во внешнем кислороде.

Результаты исследований смесей физически нестабильных окислов с алюминием позволяют сделать следующие выводы:

— появление в системе жидкой фазы за счет плавления окисла может приводить к увеличению скорости окислительно-восстановительной реакции и способствовать воспламенению системы, но может и сильно препятствовать этому на воздухе, исключая влияние внешнего кислорода, если скорость химического взаимодействия алюминия с жидким окислом невелика;

— появление в системе газовой фазы за счет испарения или возгонки окисла может привести к тому, что инициирующей может стать окислительно-восстановительная реакция алюминия с газообразным окислом, при этом влияние окисления Al во внешнем кислороде на воспламеняемость будет незначительным.

Окислы, разлагающиеся с выделением кислорода + Al. Исследования составов $\text{CrO}_3 + \text{Al}$ показали, что значение $T_{\text{кр}}$ зависит от времени их хранения на воздухе с момента приготовления. При концентрациях CrO_3 до 50 % зависимость $T_{\text{кр}}$ от времени хранения не очень сильная. Так, для 20 % $\text{CrO}_3 + \text{Al}$ и 50 % $\text{CrO}_3 + \text{Al}$ через 20 мин хранения с момента приготовления смеси на воздухе $T_{\text{кр}} = 885$ и 990°C соответственно и через 2 ч не изменилась. При больших концентрациях CrO_3 картина меняется. Так, для системы 65 % $\text{CrO}_3 + \text{Al}$ через 20 мин с момента приготовления $T_{\text{кр}} = 800^\circ\text{C}$ в атмосфере аргона и 950°C — на воздухе. Через 2 ч хранения на воздухе $T_{\text{кр}} > 1100^\circ\text{C}$, т. е. воспламенения не наблюдалось во всем рабочем диапазоне температур. Причем смесь не загоралась и сразу после приготовления, если предварительно CrO_3 2 ч выдерживалась на воздухе при комнатной температуре. CrO_3 очень гигроскопична и за время выдержки на воздухе можно визуально наблюдать изменения в ее окраске. Цвет частиц становится со временем все более красным. Это связано с образованием на поверхности частиц CrO_3 хромовой кислоты. Если смесь 65 % $\text{CrO}_3 + \text{Al}$ 2 ч хранить на воздухе, то, вероятно, достаточно окажется хромовой кислоты, чтобы она окружила большую часть частиц Al . В процессе нагрева в металлическом блоке вода из системы уходит, а частицы Al закрываются плотным слоем CrO_3 и продуктами

ее разложения. Кислорода, выделяющегося при разложении CrO_3 в слоях, непосредственно примыкающих к частицам Al, недостаточно для воспламенения Al, а от остальной части CrO_3 и от доступа внешнего кислорода частицы Al оказываются изолированными.

Для подтверждения данного объяснения проделан опыт. Образец из 65 % $\text{CrO}_3 + \text{Al}$ выдерживался 2 ч на воздухе с момента приготовления. Затем его нагрели до 500°C , выдержали при этой температуре 5 мин, раздробили в ступке и измерили его критическую температуру. Оказалось, $T_{\text{кр}} = 930^\circ\text{C}$. На термограмме соответствующей свежей смеси 65 % $\text{CrO}_3 + \text{Al}$ в атмосфере аргона (см. рис. 3) отчетливо проявляется экзотермический эффект при $T = 800^\circ\text{C}$, что совпадает с $T_{\text{кр}}$. Этот факт можно объяснить следующим образом. Разложение CrO_3 в процессе нагрева смеси в предвоспламенительный период приводит к выделению большого количества газообразных окислов. В экспериментах замечено, что нагретая до 350°C смесь выделяет большое количество рыжего дыма. Эти окислы, вероятно, вступают в химическую реакцию с Al или даже с Al_2O_3 . При этом частично нарушаются защитные свойства окисной пленки на частицах Al. При $T = 800^\circ\text{C}$ окисная пленка разрушается и жидкий Al растекается по поверхности Cr_2O_3 . Часть Al переходит в газовую фазу. Жидкий и газообразный алюминий вступают в окисительно-восстановительную реакцию с Cr_2O_3 , что и приводит к воспламенению образца. Нагревание выдержанной несколько часов в атмосфере воздуха смеси 65 % $\text{CrO}_3 + \text{Al}$ до $T = 800^\circ\text{C}$, вероятно, тоже влечет нарушение защитных свойств окисной пленки на Al, но в этом случае Al остается в замкнутом объеме. Реагируя с внутренними слоями оболочки из Cr_2O_3 , алюминий вновь создает на своей поверхности защитную пленку и не обязательно состоящую из Al_2O_3 .

В случае нагревания $\text{CrO}_3 + \text{Al}$ в больших объемах возможно воспламенение при очень низких температурах за счет реакции окисления Al кислородом, выделяющимся при разложении CrO_3 . Химический анализ показал, что основная масса кислорода уходит из материала при низких температурах. Так, в материале, полученном 5-минутной выдержанкой CrO_3 при $T = 350^\circ\text{C}$, остается только $\sim 34\%$ кислорода (содержание кислорода в CrO_3 и Cr_2O_3 48 и 31,6 % соответственно). Воспламенению $\text{CrO}_3 + \text{Al}$ при нагреве в больших объемах может способствовать и значительное выделение тепла при разложении CrO_3 (см. рис. 1). Эта ситуация была смоделирована. Свежеприготовленную смесь 65 % $\text{CrO}_3 + \text{Al}$ насыпали на асбокементную подложку слоем 1 см и помещали в холодную печь, после чего включали нагрев. Благодаря теплоизолирующей подложке и малой теплопроводности порошка в слое создавался большой градиент температур. Когда температура в объеме печи достигла 350°C , порошок воспламенился со взрывом. При этом в предвоспламенительный период под слоем порошка (на поверхности подложки), как показали термопарные измерения, $T = 170^\circ\text{C}$, т. е. равнялась температуре начала активного разложения CrO_3 .

Исследования смеси 34 % $\text{Li}_2\text{O}_2 + \text{Al}$ показали, что в воздушной атмосфере $T_{\text{кр}} = 665^\circ\text{C}$, а в аргоне — $84,2^\circ\text{C}$. Следовательно, воспламенение на воздухе произошло не за счет окисления алюминия внутренним кислородом, выделяющимся при разложении Li_2O_2 , а за счет реакции окисления Al кислородом воздуха. Температура воспламенения смеси на воздухе значительно меньше $T_{\text{кр}}$ порошка алюминия (875°C). Этот факт свидетельствует о том, что присутствие в смеси Li_2O_2 и продуктов разложения перекиси лития нарушает защитные свойства окисной пленки на частицах Al. Для подтверждения такого вывода проведены эксперименты по воспламеняемости смеси 31 % $\text{Li}_2\text{O}_2 + \text{Al}_2\text{O}_3$, откуда видно, что в системе протекают экзотермические реакции. Так, при $T_{\text{бл}} = 600^\circ\text{C}$ перегрев образца над $T_{\text{бл}}$ составил $\sim 40^\circ\text{C}$.

Для состава 65 % $\text{BaO}_2 + \text{Al}$ $T_{\text{кр}} \approx 757^\circ\text{C}$ как на воздухе, так и в аргоне. Здесь, вероятно, загорание происходит за счет реакции окисления алюминия внутренним кислородом, выделяющимся при разложении

BaO_2 , хотя нельзя исключить образования сложных соединений типа $\text{Ba}_x\text{Al}_y\text{O}_z$.

Для 67 % $\text{V}_2\text{O}_5 + \text{Al}$ на воздухе $T_{\text{кр}} = 660^\circ\text{C}$. В атмосфере Ar ($T = 660^\circ\text{C}$) также наблюдается выделение тепла, однако перегревы образца над температурой окружающей среды составляли всего $\sim 40^\circ\text{C}$. Приведенные результаты свидетельствуют, что при $T = 660^\circ\text{C}$, когда в системе появляется жидкий алюминий, начинает идти либо окислительно-восстановительная реакция, чему может благоприятствовать переход при этих температурах значительного количества V_2O_5 в газовую фазу, либо реакция окисления Al кислородом, выделяющимся при разложении V_2O_5 . Но в результате любой реакции нарушаются защитные свойства окисной пленки на алюминии. В этих условиях активно развивается окисление Al кислородом воздуха, смесь воспламеняется. В атмосфере инертного газа при парении окисной пленки Al вступает в непосредственный контакт с V_2O_5 и начинает идти медленная окислительно-восстановительная реакция. Для бурного процесса воспламенения кислорода, выделяющегося при разложении V_2O_5 , не хватает. На термограмме, полученной при исследовании смеси $\text{V}_2\text{O}_5 + \text{Al}$ в аргоне, виден экзотермический эффект, когда достигается $T_{\text{пл}}$ Al . При более высокой температуре проявляется второй экзоэффект, который, вероятно, объясняется увеличением скорости разложения V_2O_5 с выделением кислорода, что ведет к развитию реакции окисления алюминия.

Из сказанного выше следует, что процесс воспламенения данных систем очень сложен и нельзя объяснить все наблюдавшиеся эффекты только влиянием выделяющегося при разложении окислов кислорода. Однако большая роль этого кислорода в процессе воспламенения несомнена.

Доокисляющийся окисел + Al. В настоящей работе группу доокисляющихся окислов представляет FeO . Прежде всего надо отметить, что на воздухе порошок FeO хорошо воспламеняется без всяких добавок, $T_{\text{кр}} = 430^\circ\text{C}$. При этом наблюдаются перегревы поверхности образца над температурой окружающей среды $\sim 200^\circ\text{C}$. Разбавление FeO алюминием приводит к возрастанию $T_{\text{кр}}$. Так, у состава 80 % $\text{FeO} + \text{Al}$ $T_{\text{кр}} = 710^\circ\text{C}$, а у 50 % $\text{FeO} + \text{Al}$ $T_{\text{кр}} = 820^\circ\text{C}$. Воспламенение образца из $\text{FeO} + \text{Al}$ сопровождается взрывом. На термограмме смеси 80 % $\text{FeO} + \text{Al}$ в экспериментах на воздухе видно небольшое превышение температуры образца над температурой эталона начиная с $T = 430^\circ\text{C}$. Но в данном случае из-за большого теплоотвода доокисление FeO не может существенно поднять температуру образца и привести к его воспламенению. Второй экзотермический эффект отмечается на термограмме при $T = 780^\circ\text{C}$ и в исследованиях в атмосфере инертного газа (см. рис. 3). Его можно объяснить только наличием в системе окислительно-восстановительных реакций. Значение $T_{\text{кр}} = 790^\circ\text{C}$ для смеси 80 % $\text{FeO} + \text{Al}$ в атмосфере аргона оказалось близким к температурам начала экзотермических эффектов, наблюдавшихся при ДТА.

Из изложенного можно сделать вывод, что воспламенение $\text{FeO} + \text{Al}$ на воздухе инициирует реакция окисления FeO до высших окислов. За счет выделяющегося тепла образец нагревается до температуры, при которой возможно протекание окислительно-восстановительных реакций. С появлением в системе восстановленного железа и при наличии неизрасходованного Al должны протекать и металлотермические реакции [11]. Кроме того, на воздухе может идти и реакция окисления алюминия кислородом воздуха. Все это и определяет бурный характер развития воспламенения смеси $\text{FeO} + \text{Al}$.

Проведенный в работе анализ полученных экспериментальных результатов показал, что процесс воспламенения $\text{Me}_x\text{O}_y + \text{Al}$ в большой степени зависит от свойств окисла, используемого в конкретной смеси. Предложенная в работе классификация окислов по подгруппам (исходя из их химических и физических свойств) представляется оправданной. Она дает возможность на основе свойств окисла и их сравнения со свой-

ствами других окислов, входящих в данную подгруппу, предположить наиболее вероятный механизм воспламенения и оценить критическую температуру, если известна критическая температура алюминия или смеси алюминия с другим окислом в данных условиях.

ЛИТЕРАТУРА

1. Лякишев Н. П., Плинер Ю. Л., Игнатенко Г. Ф. и др. Алюминотермия.— М.: Металлургия, 1978.
2. Афанасьев Л. Ф., Черненко Е. В., Розенбанд В. И.— В кн.: Проблемы технологического горения/Под ред. А. Г. Меркарова, Т. И. Химия, технология, свойства и применение продуктов горения.— Черноголовка, 1981.
3. Гриба В. А., Розенбанд В. И. ФГВ, 1978, 14, 2, 115.
4. Физико-химические свойства окислов. Справочник/Под ред. Г. В. Самсонова.— М.: Металлургия, 1969.
5. Свойства неорганических соединений. Справочник.— Л.: Химия, 1983.
6. Окисление металлов/Под ред. Ж. Бенара, Т. И.— М.: Металлургия, 1969.
7. Елютин В. П., Павлов Ю. А., Поляков В. П. и др. Взаимодействие окислов металлов с углеродом.— М.: Металлургия, 1967.
8. Химический энциклопедический словарь/Под ред. И. Л. Куняянц.— М.: Сов. энциклопедия, 1983.
9. Halla G., Nowotny H. Die Naturwissenschaften, 1958.
10. Кожевников Г. П., Зайко В. П. Электротермия сплавов хрома.— М.: Наука, 1980.
11. Синельникова В. С., Подергин В. А., Речкин В. И. Алюминиды.— Киев: Наук. думка, 1965.

Поступила в редакцию 20/III 1987,
после доработки — 29/IX 1987

ВОСПЛАМЕНЕНИЕ СМЕСЕЙ АЦЕТАЛЬДЕГИДА С КИСЛОРОДОМ ПОД ДЕЙСТИЕМ ПЕРОКСИДНЫХ РАДИКАЛОВ

A. Г. Дорунц, A. M. Арутюнян, |A. B. Налбандян|
(Ереван)

Ранее в работах [1—4] обнаружено и изучено явление низкотемпературного (вплоть до 17 °C) воспламенения смесей ацетальдегида с кислородом, инициированное гетерогенным радикальным распадом пероксидных соединений, адсорбированных при низких температурах ($T = -25^{\circ}\text{C}$) на всей поверхности реакционного сосуда. Возможность образования при распаде пероксидов радикалов типа RO_2 , переходящих с поверхности в объем и ответственных за низкотемпературное воспламенение, показана в [5] прямой их регистрацией в газовой фазе [6, 7]. Определено, что температура воспламенения в сильной мере зависит от характера обработки поверхности реактора, отношения S/V , природы и концентрации пероксидных соединений: пероксикусусная кислота, гидро-пероксид трет-бутила (ГПТБ) и пероксид трет-бутила (ПТБ).

В настоящей работе изучена возможность поджигания смеси $\text{CH}_3\text{CHO} + \text{O}_2$ пероксидными радикалами, локализованными на нижней части реактора. Эксперименты проводили в вертикально установленном кварцевом реакторе ($l = 49$ см, $d = 2,8$ см), обработанном борной кислотой (рис. 1). Внутри реактора на расстояниях 15, 31 и 47 см от его нижнего конца, перпендикулярно к оси, помещали 3 хромель-копелевые термопары (~60 мкм), предварительно покрытые SiO_2 [8]. Пероксидные соединения (1,2—6 Торр) вымораживались на внутренней поверхности нижнего конца реакционного сосуда из заранее составленных при комнатной температуре смесей $\text{CH}_3\text{CHO} + 0,75 \text{ O}_2$ ($p_{\text{общ}} = 100$ Торр). Кончик реактора погружался в баню с $T = -25^{\circ}\text{C}$ на глубину не более 1,5 см. После вымораживания пероксида (давление паров CH_3CHO при этой температуре больше 100 Торр) охлажденный конец реакционного сосуда, находящегося при комнатной температуре, быстро помещали в масляную